

# $z$ 值影响 $\text{Sm}(\text{CoFeCuZr})_z$ 磁性能的机理研究

张天丽<sup>1</sup>, 王文龙<sup>1</sup>, 徐成<sup>1</sup>, 王慧<sup>1</sup>, 张伟<sup>2</sup>, 张志宏<sup>2</sup>, 蒋成保<sup>1</sup>

(北京航空航天大学, 北京 100191)

(2包头稀土研究院 白云鄂博稀土资源研究与综合利用国家重点实验室, 内蒙古 包头 014030)

**摘要:** 通过粉末冶金法制备了不同  $z$  值 ( $z=7.5\sim8.5$ ) 的  $\text{Sm}(\text{CoFeCuZr})_z$  磁体。利用磁性能测量系统、X 射线衍射分析、电子探针以及透射显微镜等对磁体的性能、组成相、析出相含量、微观结构及元素分布进行表征, 通过分析解释了磁性能随  $z$  值变化的内在机理。结果表明: 随  $z$  值增大, 胞状结构尺寸增大, 高饱和磁化强度的 2:17R 相增多导致剩磁  $B_r$  升高;  $z$  值增大导致富 Zr 析出相增多, 引起方形度  $H_k/H_{cj}$  下降;  $z$  值通过改变 Cu 元素在 2:17R 相界面位置的富集程度来改变矫顽力  $H_{cj}$  的大小, 在一定范围内 ( $z<8.2$ ) 该位置 Cu 含量越高, 矫顽力越大。

**关键词:**  $\text{Sm}(\text{CoFeCuZr})_z$  磁体;  $z$  值; 磁性能; 微观结构; Cu 元素分布

中图法分类号: TM273

文献标识码: A

文章编号: 1002-185X(2019)05-1567-06

$\text{Sm}(\text{CoFeCuZr})_z$  (即 2:17 型钐钴) 永磁体具有优异的磁性能、优良的温度稳定性以及较好的耐蚀性等, 在航空航天和精密仪器中应用十分广泛<sup>[1-5]</sup>。  
 $\text{Sm}(\text{CoFeCuZr})_z$  磁体作为第 2 代稀土永磁由  $\text{SmCo}_5$  添加过渡元素得到 (其中  $z$  值为稀土元素 Sm 与过渡元素的原子比,  $z$  值的大小代表了 Sm 含量的多少), 其优异的磁性能来自于由 2:17R 胞内相、1:5H 胞壁相和富锆的片状相组成的复杂微观结构。其中, 2:17R 相是主相, 负责提供高的饱和磁化强度, 1:5H 相钉扎畴壁得到高的矫顽力, 富锆相为元素扩散提供快速通道<sup>[6]</sup>。前期工作<sup>[7-14]</sup>对组成元素和制备工艺的研究发现, 不论是成分还是热处理工艺都会对微观结构、相组成及元素分布产生影响从而改变磁性能。Sm 元素作为晶格组成的基本元素, 其含量对磁性能有决定性的影响。根据相图<sup>[15]</sup>, Sm 含量 (即  $z$  值) 的改变会影响 2:17R 相和 1:5H 相的比例, 从而导致不同的磁性能; 特拉华大学的 Liu 等<sup>[16]</sup>认为  $z$  值主要影响胞状结构的尺寸,  $z$  值越低胞状尺寸越小, 其高温性能越好; 戴顿大学的 Liu 等<sup>[17]</sup>发现, 室温下  $H_{cj}$  对  $z$  值很敏感, 随着  $z$  值的增大  $H_{cj}$  迅速增大; Gu 等<sup>[18]</sup>发现有效 Sm 含量在 24%~24.5% (质量分数) ( $z$  值在 7.8~8.1 之间), 氧含量小于 4000  $\mu\text{g/g}$  时, 有望获得剩磁、矫顽力和磁能积都较高的磁体。前期研究<sup>[15-18]</sup>揭示了  $z$  值改变对磁性能的影响, 但是  $z$  值改变如何对磁性能产生影响的内在机理研究并不系统, 需要进一步探究  $z$  值与

影响磁性能因素之间的关系, 从而解释  $z$  值改变磁性能的根本原因。

本实验对不同  $z$  值  $\text{Sm}(\text{Co}_{\text{bal}}\text{Fe}_{0.22}\text{Cu}_{0.06}\text{Zr}_{0.03})_z$  ( $z=7.5\sim8.5$ ) 磁体的胞状结构、胞内和胞壁两相比例及两相中成分分布进行研究, 确定磁性能与这些因素之间的关系, 进而解释  $z$  值影响磁性能的内在机理。

## 1 实验

在本工作中样品均由粉末冶金工艺制备, 采用电弧炉熔炼得到名义成分为  $\text{Sm}(\text{Co}_{\text{bal}}\text{Fe}_{0.22}\text{Cu}_{0.06}\text{Zr}_{0.03})_{7.5}$  和  $\text{Sm}(\text{Co}_{\text{bal}}\text{Fe}_{0.22}\text{Cu}_{0.06}\text{Zr}_{0.03})_{8.5}$  的合金锭, 考虑到 Sm 熔点较低易挥发, 配料时增加 3% 的烧损。合金锭在粗破碎至可通过孔径 180  $\mu\text{m}$  筛后, 将粗粉按一定的比例混合得到名义成分为  $\text{Sm}(\text{Co}_{\text{bal}}\text{Fe}_{0.22}\text{Cu}_{0.06}\text{Zr}_{0.03})_z$  ( $z=7.5, 7.8, 8.0, 8.2, 8.4, 8.5$ ) 的粗粉, 混合比例由以下公式计算得到:

$$M_{7.5}+M_{8.5}=M_{\text{粗粉}}$$

$$xM_{7.5}+yM_{8.5}=M_{\text{Sm}}$$

其中,  $M_{\text{粗粉}}$  和  $M_{\text{Sm}}$  分别为目标成分的粗粉质量与目标成分粗粉中所含 Sm 元素的质量;  $M_{7.5}$  为所需  $\text{Sm}(\text{Co}_{\text{bal}}\text{Fe}_{0.22}\text{Cu}_{0.06}\text{Zr}_{0.03})_{7.5}$  的质量,  $x$  为其 Sm 元素质量分数;  $M_{8.5}$  为所需  $\text{Sm}(\text{Co}_{\text{bal}}\text{Fe}_{0.22}\text{Cu}_{0.06}\text{Zr}_{0.03})_{8.5}$  的质量,  $y$  为其 Sm 元素质量分数。

进一步将粗粉采用湿法球磨的方式得到粒径为 3~5  $\mu\text{m}$  并混合均匀的磁粉。磁粉在磁场取向成型和冷

收稿日期: 2018-05-11

基金项目: 国家自然科学基金 (51471016); 北京市自然科学基金 (2151002)

作者简介: 张天丽, 女, 1975 年生, 博士, 副教授, 北京航空航天大学材料科学与工程学院, 北京 100191, 电话: 010-82316234, E-mail: tlzhang@buaa.edu.cn

等静压后成为紧实的压坯，将其置于真空管式炉中，在 1185~1220 °C 的 Ar 气氛中烧结固溶，最后进行时效。时效工艺为：在 810 °C 下保温 24 h，之后以 0.5 °C/min 的冷速缓冷至 400 °C，保温 10 h 后淬火。

样品的永磁性能是由最大磁场为 2000 kA/m 的 NIM-500C 型永磁材料测量系统和 PPMS-9 型综合物性测量系统(PPMS)进行测试完成，采用 D/MAX-2500 型 X 射线衍射仪进行物相分析，而更进一步的测试则是通过电子探针系统(EPMA)完成。采用 JEM-2100F 型透射电子显微镜进行微观组织的观察，并使用其附件能谱仪进行样品的成分分析。采用图像处理软件 Photoshop 对电子探针照片进行析出相面积的测定，确定析出相含量。

## 2 结果与讨论

优化固溶温度制得不同  $z$  值 ( $z=7.5, 7.8, 8.0, 8.2, 8.4, 8.5$ ) 下最佳磁性能的磁体，由 NIM-500C 型永磁材料测量系统得到最佳磁性能磁体的退磁曲线(图 1a)，如图 1 所示(由于  $z=8.0, 8.2, 8.4, 8.5$  时的矫顽力超出 NIM-500C 型永磁材料测量系统的测量范围，故由 PPMS 测得图 1b) 其性能平均值如表 1 所示。

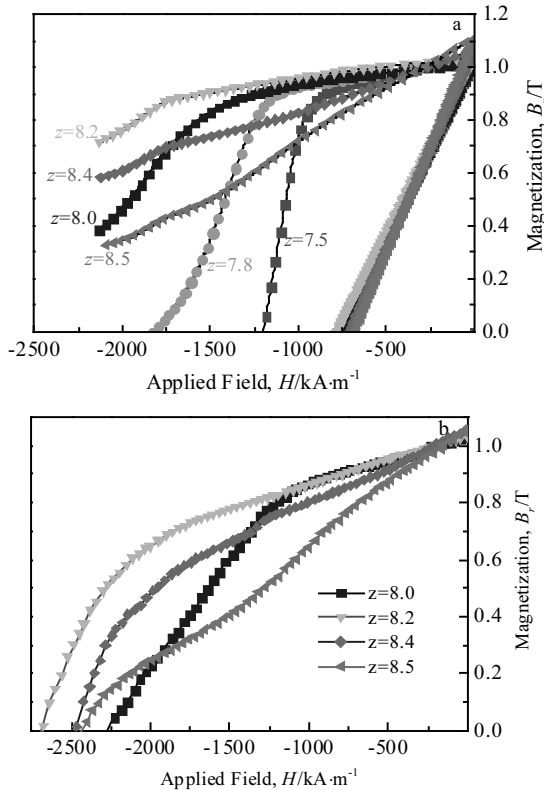


图 1  $\text{Sm}(\text{Co}_{0.22}\text{Fe}_{0.22}\text{Cu}_{0.06}\text{Zr}_{0.03})_z$  ( $z=7.5 \sim 8.5$ ) 磁体的退磁曲线

Fig.1 Demagnetization curves of  $\text{Sm}(\text{Co}_{0.22}\text{Fe}_{0.22}\text{Cu}_{0.06}\text{Zr}_{0.03})_z$  ( $z=7.5 \sim 8.5$ ) magnets

表 1  $\text{Sm}(\text{Co}_{0.22}\text{Fe}_{0.22}\text{Cu}_{0.06}\text{Zr}_{0.03})_z$  ( $z=7.5, 7.8, 8.0, 8.2, 8.4, 8.5$ ) 的永磁性能

Table 1 Permanent magnetic properties of  $\text{Sm}(\text{Co}_{0.22}\text{Fe}_{0.22}\text{Cu}_{0.06}\text{Zr}_{0.03})_z$  ( $z=7.5, 7.8, 8.0, 8.2, 8.4, 8.5$ ) magnets

$z$	$B_r/\text{T}$	$H_{cj}/\text{kA}\cdot\text{m}^{-1}$	$(BH)_{\max}/\text{kJ}\cdot\text{m}^{-3}$	$H_k/H_{cj}$
7.5	1.03	1106.69	194.14	0.671
7.8	1.03	1827.22	196.13	0.551
8.0	1.03	2273.89	200.99	0.522
8.2	1.04	2675.16	203.06	0.446
8.4	1.06	2464.97	187.94	0.175
8.5	1.06	2396.50	175.92	0.127

为了更加直观的描述随  $z$  值改变磁性能的变化趋势，绘制了磁性能变化曲线，如图 2 所示。

由表 1 和图 2 可以发现随着  $z$  值的升高，磁体的剩磁  $B_r$  由 1.03 T 缓慢增加至 1.04 T，当  $z>8.2$  时剩磁急剧增大，当  $z=8.5$  时获得最大  $B_r$  为 1.06 T；矫顽力  $H_{cj}$  先升高后降低，由  $z=7.5$  时的  $1106.69 \text{ kA}\cdot\text{m}^{-1}$  快速增加至  $z=8.2$  时的  $2675.16 \text{ kA}\cdot\text{m}^{-1}$ ，其增幅近  $1592.36 \text{ kA}\cdot\text{m}^{-1}$ ，当  $z>8.2$  时矫顽力缓慢降低，可见在一定范围内减少 Sm 含量可提高矫顽力；最大磁能积  $(BH)_{\max}$  呈现与矫顽力相同的变化规律，但其变化幅度不大，在  $z=8.2$  时其值最大，为  $203.06 \text{ kJ}\cdot\text{m}^{-3}$ ；方形度  $H_k/H_{cj}$  随  $z$  增加而单调下降，由  $0.671(z=7.5)$  降至  $0.127(z=8.5)$ ，

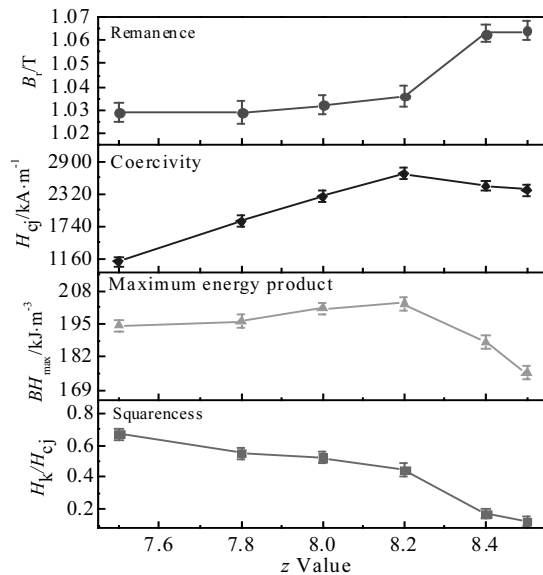


图 2  $\text{Sm}(\text{Co}_{0.22}\text{Fe}_{0.22}\text{Cu}_{0.06}\text{Zr}_{0.03})_z$  ( $z=7.5 \sim 8.5$ ) 磁体磁性能随  $z$  值变化曲线

Fig.2 Magnetic properties variation curves of  $\text{Sm}(\text{Co}_{0.22}\text{Fe}_{0.22}\text{Cu}_{0.06}\text{Zr}_{0.03})_z$  ( $z=7.5 \sim 8.5$ ) magnets with  $z$  value

其中  $z$  值从 8.2 到 8.4 时, 方形度  $H_k/H_{cj}$  由 0.446 降到 0.175, 变化幅度超过 60%。

为了进一步探究  $z$  值影响磁性能的作用机理, 选择其中 3 个具有代表性的成分  $\text{Sm}(\text{Co}_{\text{bal}}\text{Fe}_{0.22}\text{Cu}_{0.06}\text{Zr}_{0.03})_z$  ( $z=7.5, 8.2, 8.5$ ) 进一步分析。

由时效后样品的 XRD 图谱图 3 可知, 3 种样品均主要由 2:17R 相 ( $\text{Th}_2\text{Zn}_{17}$ ) 及 1:5H 相 ( $\text{CaCu}_5$ ) 组成, 其中 2:17R 相的最强峰是 (303), 位于  $43.5^\circ$  附近, 1:5H 相的最强峰为 (111) 位于  $42.7^\circ$ , 但这些样品的最强峰位置均向左偏移大约  $0.4^\circ$ 。取  $41.5^\circ\sim43.5^\circ$  区间进行 XRD 慢扫并分峰拟合, 结果如图 4 所示。

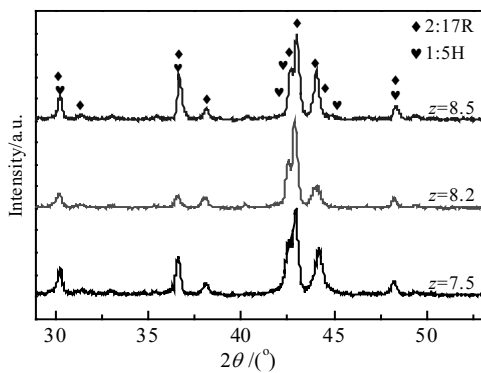


图 3  $\text{Sm}(\text{Co}_{\text{bal}}\text{Fe}_{0.22}\text{Cu}_{0.06}\text{Zr}_{0.03})_z$  ( $z=7.5, 8.2, 8.5$ ) 时效后样品的 XRD 图谱

Fig.3 XRD patterns of  $\text{Sm}(\text{Co}_{\text{bal}}\text{Fe}_{0.22}\text{Cu}_{0.06}\text{Zr}_{0.03})_z$  ( $z=7.5, 8.2, 8.5$ ) magnets after aging

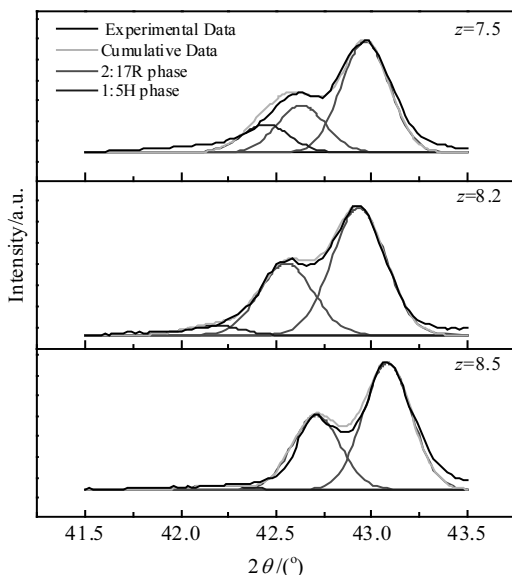


图 4  $\text{Sm}(\text{Co}_{\text{bal}}\text{Fe}_{0.22}\text{Cu}_{0.06}\text{Zr}_{0.03})_z$  ( $z=7.5, 8.2, 8.5$ ) 样品 XRD 分峰拟合图谱

Fig.4 Peak-differentiation-imitating XRD profiles of  $\text{Sm}(\text{Co}_{\text{bal}}\text{Fe}_{0.22}\text{Cu}_{0.06}\text{Zr}_{0.03})_z$  ( $z=7.5, 8.2, 8.5$ ) magnets

由两相最强峰积分强度 (I) 可以得到两相所占质量分数  $W^{[19]}$

$$W_{1:5}=I_{1:5}/(I_{1:5}+I_{2:17}) \quad (1)$$

$$W_{2:17}=1-W_{1:5} \quad (2)$$

式中,  $r$  是待测样品与刚玉标准样品按质量比 1:1 混合后, 进行 XRD 测试所得二者的最强峰积分强度的比值, 可由 XRD 的 PDF 卡片查得。通过上述公式, 可以分别计算出 1:5H 相和 2:17R 相的质量分数 ( $W$ ), 如图 5 所示, 可以看出随着  $z$  值增大, 1:5H 胞壁相逐渐减少, 2:17R 胞内相逐渐增多。由于胞状结构中的胞内相负责提供饱和磁化强度, 其含量增加会导致磁体的饱和磁化强度升高, 从而剩磁增加。

图 6 所示为样品时效后的背散射电子 (EPMA-BSE) 图像, 图中灰白色的相由 WDS 确定为  $\text{Sm}_2\text{O}_3$ , 黑色区域为孔洞, 箭头所指矩形中深灰色相为富 Zr 的析出相, 其成分如表 2 所示。计算图像中析出相的面积得出:  $z=7.5, 8.2, 8.5$  时析出相含量  $f_A$  分别是 1.12%, 2.65%, 5.44%, 随  $z$  值增大, 即 Sm 含量的减少, 析出相增多。这种析出相也被 Yosuke Horiuchi 等<sup>[20]</sup> 在  $\text{Sm}_2\text{O}_3$  周围观察到。同时, 随  $z$  值增大, 对应磁体方形度  $H_k/H_{cj}$  (见表 1) 逐渐减小, 分别为 67.1%, 44.6%, 12.7%。磁体样品氧含量均在 0.3% 以下, 因此通过分析析出相含量与方形度二者之间的关系可以认为, 随  $z$  值增加富 Zr 析出相的增多是导致磁体方形度变差的原因之一。这是由于析出相的 Sm 含量极低, 而 Sm 元素是形成胞状结构的基本元素, 故析出相所在区域不能形成胞状结构, 破坏了畴壁钉扎的均匀性, 从而降低了方形度。

图 7 所示为  $\text{Sm}(\text{Co}_{\text{bal}}\text{Fe}_{0.22}\text{Cu}_{0.06}\text{Zr}_{0.03})_z$  样品的 TEM 图像及 Cu 元素的面分布, 样品都具有典型的胞状结构。

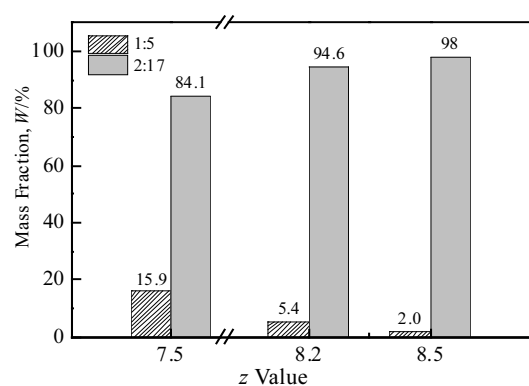


图 5 由 XRD 数据计算所得的样品中两相比例

Fig.5 Proportion of the two phase in  $\text{Sm}(\text{Co}_{\text{bal}}\text{Fe}_{0.22}\text{Cu}_{0.06}\text{Zr}_{0.03})_z$  ( $z=7.5, 8.2, 8.5$ ) magnets from XRD data

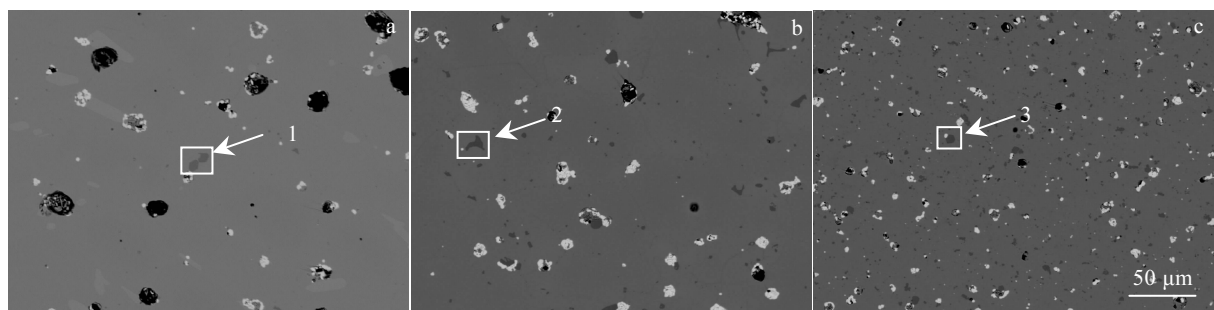


图 6 样品的 EPMA-BSE 图像

Fig.6 EPMA-BEI images of  $\text{Sm}(\text{Co}_{0.22}\text{Fe}_{0.22}\text{Cu}_{0.06}\text{Zr}_{0.03})_z$  magnets: (a)  $z=7.5$ , (b)  $z=8.2$ , and (c)  $z=8.5$ 

表 2 图 6 中 1, 2, 3 点的成分及所占比例

Table 2 Chemical composition of the points 1, 2, 3 and their area fraction in Fig.6

Point	Sm/ at%	Co/ at%	Fe/ at%	Cu/at%	Zr/ at%	$f_A/\%$
1	2.70	52.61	15.85	0.61	20.58	1.12
2	2.38	51.84	14.93	0.78	19.85	2.65
3	2.64	52.31	14.63	0.91	20.09	5.44

从 TEM 图像的微观结构和 Cu 元素的分布可以发现, 随  $z$  值增加, 胞状结构尺寸逐渐增加,  $z=7.5$  时胞结构细小均匀, 在 20~30 nm, 胞内相与胞壁相分界不明显, Cu 元素无明显富集;  $z=8.2$  时两相分界明显且大小比较均匀, 约 100 nm, Cu 元素在胞壁相中出现富集;  $z=8.5$  时胞状结构尺寸超过 200 nm 且不完整, Cu 元素仍然在胞壁相中富集。由此可得, 随  $z$  值增大, 胞状结构的均

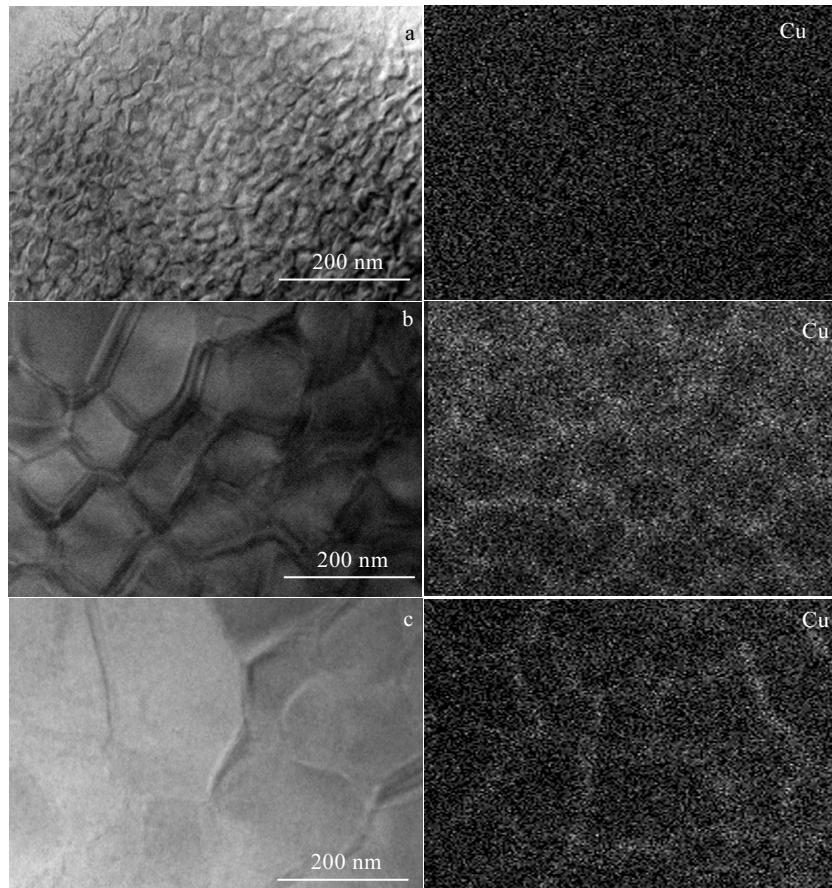


图 7 样品的 TEM 图像及 Cu 元素分布

Fig.7 TEM images of  $\text{Sm}(\text{Co}_{0.22}\text{Fe}_{0.22}\text{Cu}_{0.06}\text{Zr}_{0.03})_z$  magnets and the distribution of Cu acquired by TEM-EDS: (a)  $z=7.5$ , (b)  $z=8.2$ , and (c)  $z=8.5$

匀度降低, 胞状结构逐渐不完整, 使得畴壁钉扎不均匀, 从而导致在加反向磁场时不同磁畴的稳定性不同, 最终引起方形度的降低, 当  $z=8.5$  时最为明显。

由 TEM-EDS 得到 2:17R 胞内相和 1:5H 胞壁相的元素含量见表 3。Cu 元素在胞壁中的含量始终高于胞内的含量, 这是因为 Cu 元素在时效时在胞壁相中具有更低的自由能, 从而易于富集到胞壁<sup>[21]</sup>。随着  $z$  值的升高, Cu 元素在胞壁相中所占比例逐渐升高, 两相之间 Cu 浓度差值越来越大。

将研究中所提到的因素综合起来探究  $z$  值变化和  $H_{cj}$  的内在关系, 分析发现,  $z$  值增大, 胞状结构尺寸逐渐增加, 当尺寸过大时导致胞状结构不完整; 1:5H 相所占比例随  $z$  值增大逐渐减少; Cu 元素在两相中的浓度差逐渐增大。2:17 型 SmCo 是畴壁钉扎型磁体<sup>[22]</sup>, 经时效缓冷后, Cu 元素在 2:17R 相界面位置的含量高于相中心, 形成两相界面处 Cu 元素分布的过渡区, 而这个位置 Cu 元素的增加会降低 2:17R 相的磁晶各向异性常数  $K_1$ , 并且形成能量阱(钉扎点)<sup>[21]</sup>, 如图 8 中 a、b 点所示。当  $z$  值改变引起 Cu 元素在两相中含量发生变化时, 会影响能量阱的深度。当  $z=7.5$  时, 两相中的 Cu 浓度梯度较小, 此时在 a、b 位置形成的能量阱比较浅, 如图 8 中红线所示, 此时对畴壁的钉

表 3 由 TEM-EDS 所得 2:17R 胞内相和 1:5H 胞壁相的元素组成

Table 3 Chemical composition of 2:17R phase and 1:5H phase determined by TEM-EDS (at%)

$z$ value	Phase	Sm	Co	Fe	Cu	Zr
7.5	2:17R	12.0	48.2	28.5	10.6	0.7
	1:5H	12.4	48.6	25.3	12.7	1.0
8.2	2:17R	11.3	57.9	22.8	6.5	1.4
	1:5H	11.6	55.0	18.3	13.9	1.2
8.5	2:17R	10.7	60.9	21.8	5.0	1.4
	1:5H	12.2	54.8	17.4	14.6	1.0

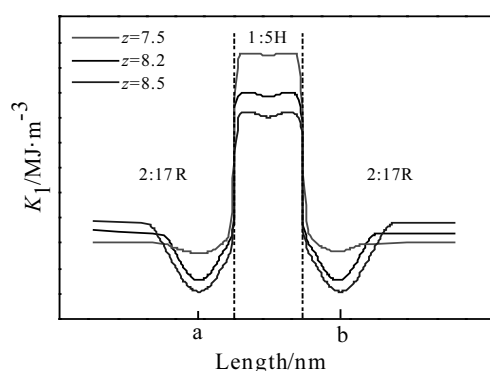


图 8 磁晶各向异性能剖面示意图

Fig.8 Schematic magnetocrystalline anisotropy energy profile

扎作用较小, 矫顽力较小; 随  $z$  值增加, 1:5H 相中的 Cu 含量增加, Cu 在 1:5H 相中富集会导致 1:5H 相的  $K_1$  减小<sup>[23]</sup>, 然而, 2:17R 相中的边缘位置 Cu 含量也会增加, 导致 a、b 位置的能量阱加深, 对畴壁钉扎作用增强, 矫顽力增大;  $z$  值增大到 8.5 时, 虽然 a、b 位置的能量阱继续加深, 但由于其胞状结构不完整导致钉扎点减少, 造成矫顽力下降。这就解释了矫顽力随  $z$  值变化的内在机理。

### 3 结 论

1) 随着  $z$  增加, 饱和磁化强度高的 2:17R 胞内相含量增多导致剩磁增大。

2)  $z$  值提高导致富 Zr 析出相增多, 这种析出相不能形成有效的钉扎, 故在磁体中形成矫顽力钉扎的不均匀点, 是造成磁体方形度降低的原因之一;  $z$  值增加导致胞状结构均匀度下降也是导致方形度下降的原因, 尤其在  $z>8.2$  时, 胞状结构不完整导致方形度急剧恶化。

3)  $z<8.2$  时, 随  $z$  值增加, 在 2:17R 相界面处由 Cu 元素富集形成的钉扎逐渐增强, 有利于矫顽力增加, 在  $z=8.2$  时达到最大值; 当  $z>8.2$  时, 虽然在 2:17R 相界面处的钉扎在增强, 但其胞状结构的不完整性使总体的钉扎作用降低, 从而当  $z$  值过大时矫顽力减小。

### 参 考 文 献 References

- [1] Ojima T, Tomizawa S, Yoneyama T et al. IEEE Transactions on Magnetics[J], 1977, 13(5): 1317
- [2] Zhou Shouzeng(周寿增). Rare Earth Permanent Magnetic Materials and Their Application (稀土永磁材料及其应用)[M]. Beijing: Metallurgy Industry Press, 1995: 281
- [3] Yi Jianhong(易健宏), Peng Yuandong(彭元东). Rare Metal Materials and Engineering(稀有金属材料与工程)[J], 2003, 32(4): 337
- [4] Wang Qingyun, Zheng Lei, Jiang Chengbao et al. Journal of Magnetism and Magnetic Materials[J], 2013, 331: 245
- [5] Zhang Tianli, Liu Hongyuan, Jiang Chengbao et al. Applied Physics Letters[J], 2015, 106(16): 2403
- [6] Kaplesh Kumar. Journal of Applied Physics[J], 1988, 63: R13
- [7] Zhu Minggang(朱明刚), Sun Wei(孙威), Fang Yikun(方以坤) et al. Materials China(中国材料进展)[J], 2015, 34(11): 789
- [8] Yi Jianhong(易健宏), Du Juan(杜鹃), Peng Yuandong(彭元东) et al. Rare Metal Materials and Engineering(稀有金属材料与工程)[J], 2003, 32(10): 836
- [9] Zhang Tianli, Liu Hongyuan, Jiang Chengbao et al. Journal of Alloys and Compounds[J], 2015, 637: 253

- [10] Horiuchi Yosuke, Hagiwara Masaya, Okamoto Keiko *et al.* *IEEE Transactions on Magnetics*[J], 2013, 49(7): 3221
- [11] Hadjipanayis G C, Tang Wei, Zhang Y *et al.* *IEEE Transactions on Magnetics*[J], 2000, 36(5): 3382
- [12] Su Shuai(苏 帅), Wang Yunqiao(王云峤), Yue Ming(岳 明) *et al.* *Metallic Functional Materials*(金属功能材料)[J], 2015, 22(5): 6
- [13] Wang Qian(王 倩), Wang Yanbo(王燕波), Li Yang(李 扬) *et al.* *Chinese Journal of Rare Metals*(稀有金属)[J], 2013, 37(6): 896
- [14] Liu J F, Ding Y, Zhang Y *et al.* *Journal of Applied Physics*[J], 1999, 85(8): 5660
- [15] Cataldo L, Lefevre A, Ducret F *et al.* *Journal of Alloys and Compounds*[J], 1996, 241(1-2): 216
- [16] Liu J F, Zhang Y, Dimitrov D *et al.* *Journal of Applied Physics*[J], 1999, 85(5): 2800
- [17] Liu S, Potts G, Doyle G *et al.* *IEEE Transactions on Magnetics*[J], 2000, 36(5): 3297
- [18] Gu Zhengfei, Zhang Weihua, Yu Ningsen *et al.* *Material Science and Technology*[J], 1995, 3(2): 9
- [19] Wang Fuchi(王富耻). *Modern Methods for Material Analysis (材料现代分析测试方法)*[M]. Beijing: Beijing Institute of Technology Press, 2006: 74
- [20] Yosuke Horiuchi, Masaya Hagiwara, Masaki Endo *et al.* *Journal of Applied Physics*[J], 2015, 117(17): C704-1
- [21] Xiong X Y, Ohkubo T, Koyama T *et al.* *Acta Materialia*[J], 2004, 52(3): 737
- [22] Kronmüller H, Goll D. *Scripta Materialia*[J], 2002, 47(8): 545
- [23] Lectard E, Allibert C H. *Journal of Applied Physics*[J], 1994, 75(10): 6277

## Mechanism Research of $z$ Value Affecting Magnetic Properties of $\text{Sm}(\text{CoFeCuZr})_z$

Zhang Tianli<sup>1</sup>, Wang Wenlong<sup>1</sup>, Xu Cheng<sup>1</sup>, Wang Hui<sup>1</sup>, Zhang Wei<sup>2</sup>, Zhang Zhihong<sup>2</sup>, Jiang Chengbao<sup>1</sup>

(1. Beihang University, Beijing 100191, China)

(2. State Key Laboratory of Baiyunobo Rare Earth Resource Researches and Comprehensive Utilization,  
Baotou Research Institute of Rare Earths, Baotou 014030, China)

**Abstract:** The  $\text{Sm}(\text{CoFeCuZr})_z$  permanent magnets with different  $z$  values ( $z=7.5\sim8.5$ ) were prepared by powder metallurgy. The properties, constituent phase, precipitated-phase content, microstructure and element distribution of the magnet were characterized by magnetic measurement system, X-ray diffraction analysis, electron probe and transmission electron microscope. Magnetic properties changed with  $z$  value, and the inherent mechanism was explained. The results show that with the increase of  $z$  value the size of cell structure increases and the 2:17R phase with high saturation magnetization also increases in amount, which finally results in the improvement of remanence  $B_r$ . The precipitated Zr-riched phase increases when the  $z$  value increases, which has a weakening effect on the squareness  $H_k/H_{cj}$ . The  $z$  value changes the enrichment of Cu element at the edge of 2:17R phase, and thus influences the coercivity  $H_{cj}$ . Within the certain range ( $z < 8.2$ ), the higher the content of Cu at that edge, the larger the coercivity.

**Key words:**  $\text{Sm}(\text{CoFeCuZr})_z$ ;  $z$  value; magnetic property; microstructure; distribution of Cu element

Corresponding author: Jiang Chengbao, Ph. D., Professor, School of Materials and Engineering, Beihang University, Beijing 100191, P. R. China, Tel: 0086-10-82338780, E-mail: jiangcb@buaa.edu.cn